# Corrigé de la série 2.

#### Exercice 1

a) La courbe de traction réelle consiste en une montée linéaire de pente E du point (0,0) au point EL de coordonnées  $(\varepsilon_e, E\varepsilon_e)$ . Elle se prolonge ensuite entre les abscisses  $\varepsilon_e$  et  $\varepsilon_{\text{ult}}$  par le graphe de l'application  $\varepsilon \to K\varepsilon^n$  avec K choisi de tel façon qu'on assure la continuité :

$$K = E\varepsilon^{1-n}$$
.

Dans notre cas, avec les données numériques on a que  $E=100\,\mathrm{GPa}$  et que

$$K \approx 4.373 \,\text{GPa}.$$
 (1)

et on obtient la courbe de traction dessinée à la Fig. 2

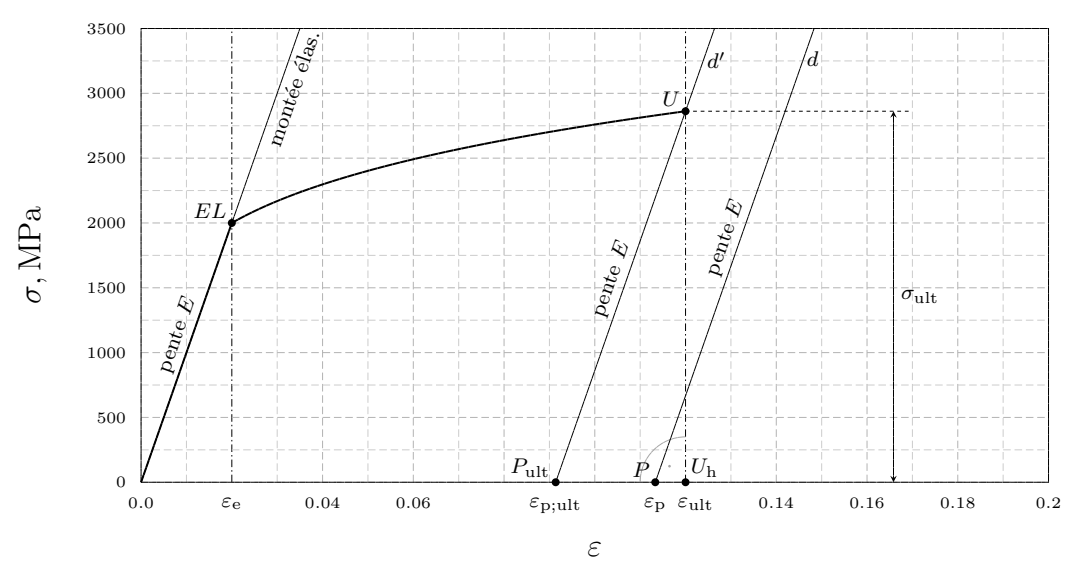


FIGURE 2 – Courbe de traction réelle du matériau recuit

b) La contrainte de traction ultime  $\sigma_{\rm ult}$  est donnée par la loi de Ludwik où on utilise les données numériques n=0.2 et  $K\approx 4.373$  (1):

$$\sigma_{\rm ult} = K \varepsilon_{\rm ult}^n \approx 4.373 \times 0.12^{0.2} \approx 2.861 \,\text{GPa} = 2861 \,\text{MPa}$$
 (2)

c) Le taux de déformation réel permanent requis par votre client est

$$\varepsilon_{\rm p} = \ln \frac{\ell_{\rm p}}{\ell_0} = \ln \frac{112}{100} = \ln 1.12 \approx 0.11332.$$

Pour déterminer graphiquement le taux de déformation réel  $\varepsilon_{\rm r}$  à atteindre en relaxation, on place le point P de coordonnées  $(\varepsilon_{\rm p},0.0)\approx(0.11332,0.0)$  dans le graphe de la Fig. 2. Par ce point, on mène une parallèle d à la droite de montée élastique et on identifie l'intersection de cette droite avec la courbe de traction. On observe ici que cette intersection **n'existe pas**. Cela signifie que l'opération est impossible. Il faudrait, en fait, déformer la barre **au-delà de sa rupture** pour obtenir l'allongement demandé.

d) Le plus grand taux de déformation  $\varepsilon_{p;ult}$  qu'on peut atteindre est celui qu'on obtient en relâchant la barre au seuil de sa rupture soit lorsque  $\varepsilon \simeq \varepsilon_{ult}$ . Pour identifier  $\varepsilon_{p;ult}$  il suffit donc de placer le point de relaxation U de coordonnées ( $\varepsilon_{ult}$ ,  $\sigma_{ult}$ ) dans la Fig. 2, puis de mener par ce point la droite d' parallèle à la droite de montée élastique. Cette droite coupe l'axe horizontale au point  $P_{ult}$  dont la coordonnées est exactement la valeur  $\varepsilon_{p;ult}$  recherchée. Pour calculez avec précision la valeur de  $\varepsilon_{p;ult}$ , on place le point  $U_h$  de coordonnées ( $\varepsilon_{ult}$ , 0) sur la Fig. 2. On observe ensuite que le triangle  $UU_hP_{ult}$  est rectangle en  $U_h$  et que la pente de son hypothénuse vaut E par définition. On peut donc écrire :

$$\frac{U_{\rm h}U}{U_{\rm h}P} = E. \tag{3}$$

Sur la Fig. 2, on peut encore constater que la longueur du segment  $U_{\rm h}U$  est la contrainte de traction ultime  $\sigma_{\rm ult}$  calculée en (2) et que la longueur du segment  $U_{\rm h}P_{\rm ult}$  est le rebond entre  $\varepsilon_{\rm ult}$  et  $\varepsilon_{\rm p;ult}$ . Portant ces deux informations dans (3), on obtient une équation :

$$\frac{\sigma_{\rm ult}}{\varepsilon_{\rm ult} - \varepsilon_{\rm p;ult}} = E$$

qu'on peut résoudre pour la quantité inconnue  $\varepsilon_{p;ult}$ . Utilisant les données numériques  $\varepsilon_{ult} = 0.12$ ,  $E = 100\,\mathrm{GPa}$  et  $\sigma_r = 2.861\,\mathrm{GPa}$ , il vient :

$$\varepsilon_{\text{p;ult}} = \varepsilon_{\text{ult}} - \frac{\sigma_{\text{ult}}}{E} \approx 0.12 - \frac{2.861}{100} \approx 0.0914.$$
 (4)

e) Après la première traction, le taux de déformation permanent induit dans la barre vaut  $\varepsilon_{\rm p} = \varepsilon_{\rm p;ult} \approx 0.0914$  et la longueur permanente atteinte est

$$l_{\rm p} = l_0 \mathbf{e}^{\varepsilon_{\rm p;ult}} \approx 100 \times \mathbf{e}^{0.0914} \approx 109.56 \,\mathrm{mm}.$$

La seconde traction applique le même taux de déformation permanent, soit  $\varepsilon_{\rm p} \approx 0.0914$  mais, cette fois, la longueur initiale  $l_0'$  de la barre n'est plus de 100 mm. Puisque le revenu ne modifie quasiment pas les dimensions des pièces, cette longueur, appelée aussi longueur de revenu, vaut environ :

$$l_0' = l_p \approx 109.56 \,\mathrm{mm},$$

Dans ces conditions, on peut prédire la longueur permanente atteinte en fin d'expérience. Elle sera

$$l_{\rm p}' = l_0' {\bf e}^{\varepsilon_{\rm p;ult}} \approx 109.56 \times {\bf e}^{0.0914} \approx 120.05 \, {\rm mm}.$$

et est plus grande que la longueur que votre client vous demandait d'atteindre (112 mm). Il vous sera donc possible de le satisfaire en pratiquant à deux étirages entre lesquels vous intercalerez une opération de revenu.

f) Si on omet l'opération de revenu, alors l'échantillon qu'on va soumettre à la seconde traction sera **écroui**. Selon la théorie vue au cours, il va retourner à l'état de relaxation R de façon élastique puis se déformer plastiquement en reproduisant la courbe de traction du matériau recuit (cf. Fig : 3) :

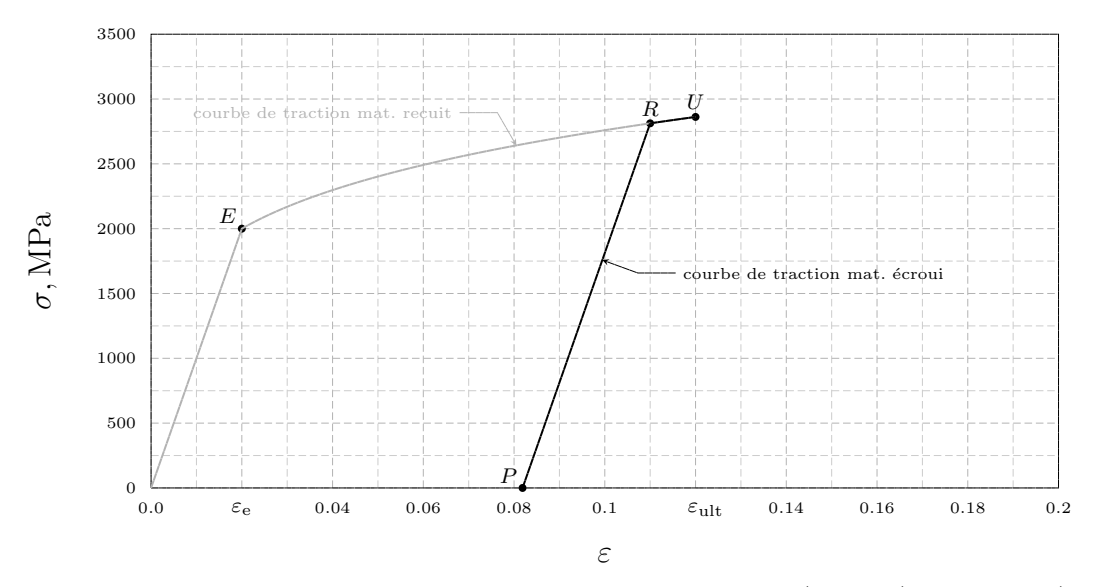


FIGURE 3 – Courbes de traction réelles du matériau recuit (en gris) et écroui (en noir)

Toutefois, comme l'état de relaxation R correspondait pratiquement à l'état de rupture U :

$$R \simeq U$$
,

on peut prédire que l'échantillon va casser aussitôt après sa sortie de la zone élastique.

## Exercice 2

a) En élasticité la variation du volume est soumise à la loi de Poisson :

$$\frac{V}{V_0} = \mathbf{e}^{(1-2\nu)\varepsilon} \tag{1}$$

où  $\nu$  est le coefficient qu'on nous demande de calculer. Dans notre cas, le rapport  $\frac{V}{V_0}$  est connu, il vaut 1.2, Si on connaît aussi le taux de déformation réel  $\varepsilon$ , on pourra identifier  $\nu$  en suivant les étapes ci-dessous :

i) la prise du logarithme de (1):

$$\ln 1.2 = (1 - 2\nu)\varepsilon$$

ii) la divison par  $\varepsilon$ :

$$\frac{\ln 1.2}{\varepsilon} = (1 - 2\nu)$$

iii) la résolution pour  $\nu$ :

$$2\nu = 1 - \frac{\ln 1.2}{\varepsilon}$$

soit

$$\nu = \frac{1}{2} - \frac{\ln 1.2}{2\varepsilon}.\tag{2}$$

Comme le taux de déformation réel a été mesuré :

$$\varepsilon \equiv \ln \frac{l}{l_0} = \ln 1.4. \tag{3}$$

on peut tirer de (2) que

$$\nu = 0.5 - \frac{\ln 1.2}{2 \times \ln 1.4} \simeq 0.23. \tag{4}$$

b) Si on connaît  $\varepsilon = \ln 1.4$  et  $\nu \simeq 0.23$ , on peut calculer le rapport entre le rayon final et le rayon initial de la barre en appliquant la loi de Poisson :

$$\frac{r}{r_0} = \mathbf{e}^{-\nu\varepsilon} \simeq \mathbf{e}^{-0.23 \times \ln 1.4} \simeq 0.925.$$
 (5)

ce qui correspond à une diminution du rayon d'environ 7.5%.

#### Exercice 3

a) Calcul de la longueur de relaxation. La longueur finale de la barre  $l_p$  est liée à son rayon final  $r_p$  par la contrainte d'incompressibilité de la déformation permanente :

$$\pi l_p r_p^2 = \pi l_0 r_0^2$$

qui implique que l'allongement relatif est égal à

$$\frac{l_p}{l_0} = \frac{r_0^2}{r_p^2} = \left(\frac{r_0}{r_p}\right)^2 = 4$$

puisqu'on veut diminuer le rayon de moitié :  $r_p = \frac{1}{2}r_0$ . La déformation permanente que l'on cherche à atteindre correspond donc à un taux réel de

$$\varepsilon_p = \ln 4 \simeq 1.3862.$$

Le taux de déformation réel  $\varepsilon_r$  à atteindre au moment du relâchement de la barre se déduit graphiquement en identifiant l'intersection entre la courbe de traction réelle dessinée pour une valeur arbitraire du module d'élasticité E (cf. Remarque ci-dessous) et la parallèle à la montée élastique (cf. Fig. 1)

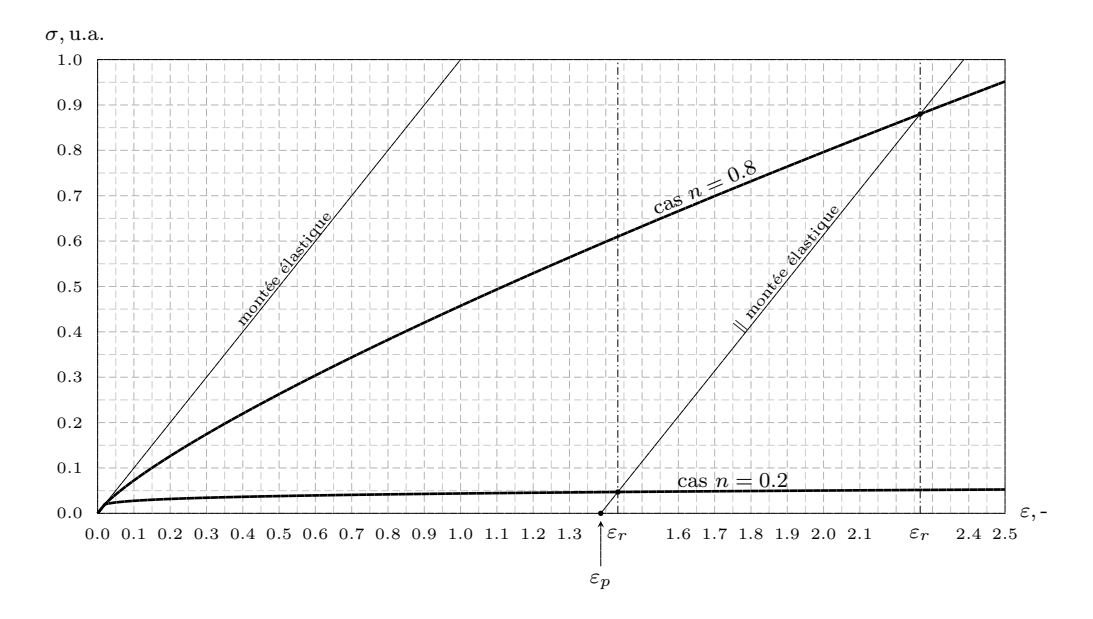


Figure 1 – Résolution graphique de l'équation de la déformation permanente

Les résultats sont

$$\varepsilon_r \approx 2.2662$$
, si  $n = 0.8$ ,

$$\varepsilon_r \approx 1.4332$$
, si  $n = 0.2$ .

et on trouve que la longueur de la barre, au moment où il convient de la relâcher, doit être de

$$l_r = l_0 \mathbf{e}^{\varepsilon_r} = 9.64 \,\mathrm{m}, \quad \text{si } n = 0.8,$$

$$l_r = l_0 \mathbf{e}^{\varepsilon_r} = 4.19 \,\mathrm{m}, \text{ si } n = 0.2.$$

b) Commentaires. La déformation qu'il faut atteindre au moment de la relaxation est beaucoup plus grande avec le matériau à fort coefficient d'écrouissage (9.64 m pour n = 0.8 contre seulement 4.19 m pour n = 0.2). Cela illustre qu'un matériau à fort coefficient d'écrouissage implique des rebonds élastiques plus importants. Il est donc en principe plus difficile à mettre en forme qu'un matériau à plus faible coefficient d'écrouissage.

### Remarque

Dans la résolution graphique, un changement de module d'Young peut passer inaperçu. Il suffit de changer correctement l'échelle sur l'axe vertical qui représente les contraintes et le courbe de traction réelle restera la même. Par exemple, si on double le module d'Young, on conservera la courbe de traction en disant qu'un cm sur l'axe verticale représente maintenant deux fois plus de MPa qu'avant. Comme elle n'est pas affectée par une modification de l'échelle des contraintes, la construction graphique qui permet de déduire  $\varepsilon_p$  à partir de  $\varepsilon_r$  sera la même dans les deux cas. La valeur trouvée pour  $\varepsilon_p$  sera par conséquent toujours la même : on dit qu'elle est indépendante de E. Si vous n'êtes pas convaincu par ce raisonnement, vous pouvez vous persuader autrement que  $\varepsilon_p$  ne dépend que de  $\varepsilon_r$ ,  $\varepsilon_e$  et n et pas de E en vous rappelant, par exemple, de la formule de la déformation permanente :

$$\frac{\varepsilon_{\rm p}}{\varepsilon_{\rm e}} = \frac{\varepsilon_{\rm r}}{\varepsilon_{\rm e}} - \left(\frac{\varepsilon_{\rm r}}{\varepsilon_{\rm e}}\right)^n.$$

On peut aussi utiliser une démonstration graphique basée sur les rapports d'homothétie et présentée sur la Fig. 2.

Dans le repère de la courbe de traction réelle  $(\varepsilon, \sigma)$ , on appelle P le point de coordonnées  $(\varepsilon_p, 0.0)$  correspondant à l'état de déformation qu'on souhaite atteindre. On trace ensuite une première courbe de traction réelle (trait plein) qui correspondant à une certaine valeur E du module d'élasticité. Par P on mène une droite d de pente

$$p = E. (4)$$

Elle coupe la courbe de traction au point R. La projection  $R_0$  de R sur l'axe horizontal est localisé au taux  $\varepsilon_r$  à atteindre en relaxation.

 $\sigma$ , u.a.

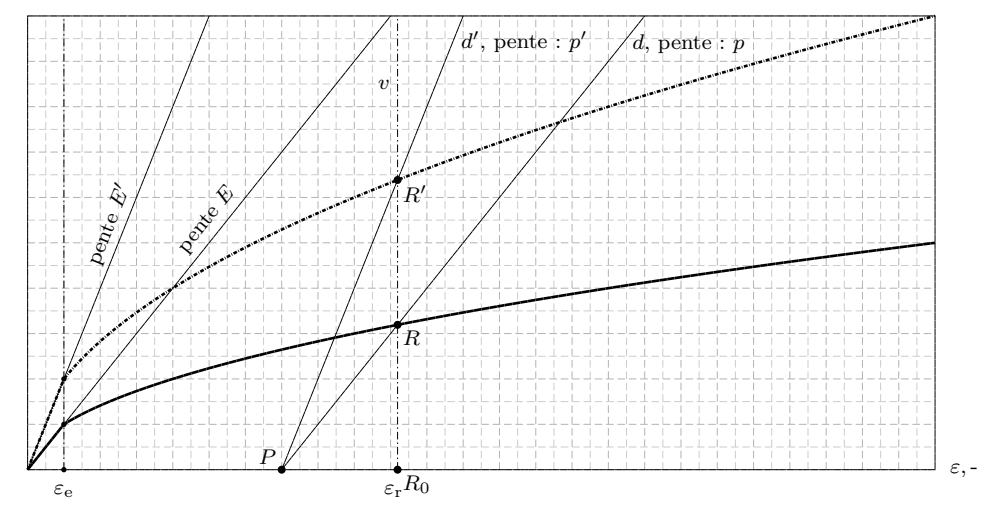


FIGURE 2 – Résolution graphique de l'équation de la déformation permanente

On dessine ensuite une autre courbe de traction (en traitillé sur la Fig. 2) qui correspond à une autre valeur E' du module d'élasticité mais au même coeffcient d'écrouissage n et au même taux de déformation en limite élastique  $\varepsilon_e$ . On se propose de montrer que, dans ce cas,

$$\varepsilon_{\mathbf{r}}' = \varepsilon_{\mathbf{r}}.$$
 (5)

Notre argument essentiel pour prouver (5) est que la courbe de traction en traitillé se déduit de celle en trait plein par une homothétie de rapport

$$\frac{E'}{E},$$
 (6)

cela est dû au fait que le module d'écrouissage est en proportion du module d'élasticité :

$$K' = E' \varepsilon_{\rm e}^{1-n}$$
.

Dans ces conditions, la construction qui démontre (5) est la suivante. On trace la verticale v par le point  $R_0$  de coordonnée  $(\varepsilon_r, 0)$ . Cette droite coupe la courbe de traction en traitillé au point R'. On trace alors la droite d' passant pas le point R' et le point de déformation permanente P. La preuve de (5) se réduit alors à démontrer que la pente p' de la droite d' vaut E', soit

$$p' = E'. (7)$$

Puisque la courbe en traitillé est obtenue par une homothétie de rapport (6) à partir de la courbe en trait plein, les segments  $R_0R'$  et  $R_0R$  sont dans cette proportion :

$$\frac{R_0 R'}{R_0 R} = \frac{E'}{E}.$$

Il s'ensuit que les pentes des droites d' et d sont dans ce rapport aussi :

$$\frac{p'}{p} = \frac{E'}{E}.$$

De cette relation, on tire que

$$p' = \frac{E'}{E}p. (8)$$

Or par définition p = E (4). Portant cette information dans (8) on conclut que la relation (7) est bien satisfaite, ce qui achève la preuve de (5).

c) Dimensionnement des forces. Les taux de déformation réels  $\varepsilon_r$  à atteindre au moment du relâchement de la force on été calculés au point a On a obtenu les résultats suivants :

$$\varepsilon_r = 2.2622$$
, pour le matériau avec  $n = 0.8$   $\varepsilon_r = 1.4332$ , pour le matériau avec  $n = 0.2$ .

Dans les deux cas, ces taux sont supérieurs au taux de déformation réel en résistance  $\varepsilon_m = n$ :

$$\varepsilon_m = 0.8 < \varepsilon_r$$
, pour le matériau avec  $n = 0.8$   
 $\varepsilon_m = 0.2 < \varepsilon_r$ , pour le matériau avec  $n = 0.2$ .

En conséquence, la force maximale F est celle qui est appliquée au moment du maximum d'écrouissage. Elle est égale au produit de la section initiale  $S_0$  de la barre :

$$S_0 = \pi r_0^2 \simeq 3.1415 \times 0.02^2 \simeq 1.2566 \times 10^{-3} \,\mathrm{m}^2$$

par la résistance du matériau qui vaut, dans le cas incompressible :

$$R_m = K \left(\frac{n}{\mathbf{e}}\right)^n = E\varepsilon_e \left(\frac{n}{\varepsilon_e \mathbf{e}}\right)^n$$

où on a utilisé la formule  $K=E\varepsilon_e^{1-n}$ . Avec les données numériques, on trouve que

$$R_m = 200'000 \times 0.02 \times \left(\frac{0.8}{0.02 \times 2.7182}\right)^{0.8} \simeq 3.437 \times 10^4 \,\text{MPa}, \text{ si } n = 0.8,$$
  
 $R_m = 200'000 \times 0.02 \times \left(\frac{0.2}{0.02 \times 2.7182}\right)^{0.2} \simeq 5.190 \times 10^3 \,\text{MPa}, \text{ si } n = 0.2,$ 

En conclusion, la force maximale que la machine d'étirage doit pouvoir développer est de

$$F_{max} = R_m S_0 \simeq 3.437 \times 10^4 \times 1.2566 \times 10^{-3} \simeq 43.19 \,\text{MN}, \quad \text{si } n = 0.8,$$
  
 $F_{max} = R_m S_0 \simeq 5.190 \times 10^3 \times 1.2566 \times 10^{-3} \simeq 6.52 \,\text{MN}, \quad \text{si } n = 0.2.$ 

d) **Commentaires.** On peut à nouveau observer que le matériau à fort coefficient d'écrouissage est plus difficile à travailler que le matériau à faible coefficient d'écrouissage. Il implique en effet l'utilisation d'une machine plus de 7 fois plus puissante.

#### Exercice 4

a) L'équation de la déformation permanente donne immédiatement  $\varepsilon_p$  en fonction de  $\varepsilon_r$ :

$$\varepsilon_{\rm p} = \varepsilon_{\rm r} - \varepsilon_{\rm e} \left(\frac{\varepsilon_{\rm r}}{\varepsilon_{\rm e}}\right)^n$$
 (1)

soit, en tenant compte que  $\varepsilon_{\rm r}=1.2$  et en utilisant les données numériques de la Tab. 1 :

$$\varepsilon_{\rm p} = 1.2 - 0.05 \times \left(\frac{1.2}{0.05}\right)^{0.26} \simeq 1.0857.$$
 (2)

b) La loi de Poisson donne le volume à la limite élastique :

$$V_{\rm e} = V_0 \mathbf{e}^{(1-2\nu)\varepsilon_{\rm e}} \simeq 100 \mathbf{e}^{(1-2\times0.3)\times0.05} \simeq 102.02 \,\mathrm{cc}$$
 (3)

c) Selon Considère, le volume du matériau ne change pas durant toute la déformation plastique, en conséquence :

$$V_{\rm r} = V_{\rm e} \simeq 102.02 \,\mathrm{cc} \tag{4}$$

d) Pour le calculer, on va mettre le volume permanent  $V_p$  en relation avec le volume  $V_r$  atteint en relaxation et exprimé en (4). Pour y parvenir, on utilise une information importante donnée au cours et illustrée sur la Fig. 1. Cette information est que si la barre déformée de façon permanente est remise en traction elle retourne **élastiquement** à l'état de relaxation. L'élasticité de la transformation  $p \to r$  nous permet d'écrire la relation de Poisson intégrée entre  $V_p$  (volume initial) et  $V_r$  (volume final):

$$V_{\rm r} = V_{\rm p} \mathbf{e}^{(1-2\nu)\varepsilon} \tag{5}$$

soit, si on résoud maintenant pour le volume inconnu  $V_{\rm p}$ :

$$V_{\rm p} = V_{\rm r} \mathbf{e}^{-(1-2\nu)\varepsilon} \tag{6}$$

Pour que les relations (5) et (6) soient valables, il faut biensûr que  $\varepsilon$  soit le taux de déformation correspondant à la transformation considérée (cf. Fig. 1) :

$$\varepsilon = \ln \frac{l_{\rm r}}{l_{\rm p}} = \ln \frac{l_{\rm r} l_0}{l_0 l_{\rm p}} = \ln \frac{l_{\rm r}}{l_0} \frac{l_0}{l_{\rm p}} = \ln \frac{l_{\rm r}}{l_0} - \ln \frac{l_{\rm p}}{l_0} = \varepsilon_{\rm r} - \varepsilon_{\rm p}$$

soit, si on utilise que  $\varepsilon_{\rm r} = 1.2$  et que  $\varepsilon_{\rm p} \simeq 1.0857$  (2)

$$\varepsilon = 1.2 - 1.0857 \simeq 0.1143.$$

Remplaçant  $\varepsilon$  par cette valeur et tenant compte que  $V_{\rm r} \simeq 102.02\,{\rm cc}$  (4), on tire de la relation (6) que

$$V_{\rm p} = 102.02 \times e^{-(1-2\times0.3)\times0.1143} \simeq 97.46 \,{\rm cc}$$
 (théorie de Considère). (7)

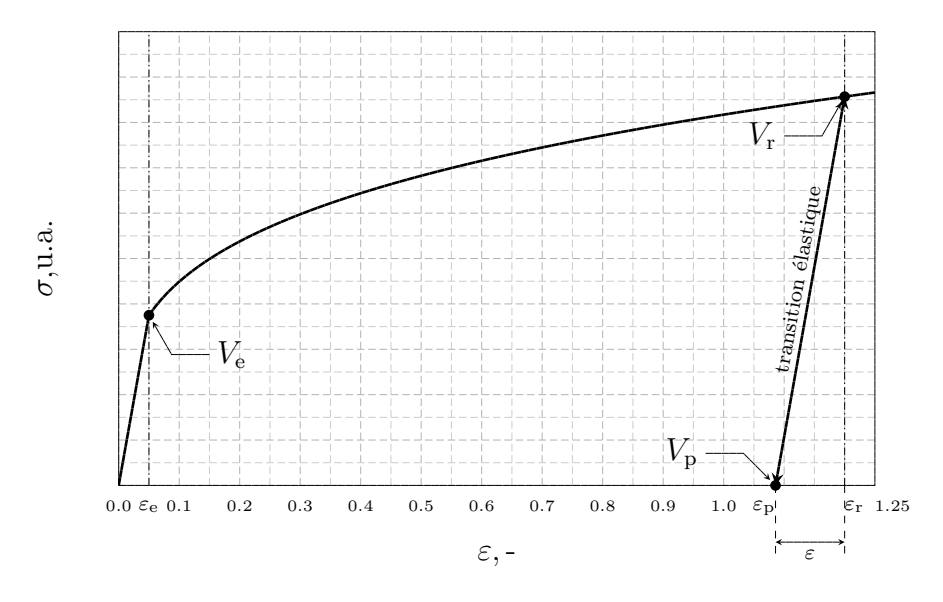


Figure 1 – Courbe de traction réelle avec relaxation

e) L'hypothèse de Considère amène à la conclusion que le volume permanent atteint par la barre après étirage et relaxation est **plus petit** que le volume de départ :

$$97.463 \,\mathrm{cc} < 100 \,\mathrm{cc}.$$
 (8)

Cela est dû au fait qu'il n'y a, dans la théorie de Considère, que deux mécanismes qui modifient les volumes :

- i) la montée élastique au départ qui augmente le volume,
- ii) le rebond élastique après la relaxation qui le diminue.

Or, à cause de l'écrouissage, le rebond correspond à un taux de déformation réel plus grand, en valeur absolu, que le taux de déformation réel lié à la montée élastique. Le retrait dû au rebond est donc plus important que la dilatation due à la montée ce qui, globalement, implique un rétrecissement (8).

Dans la pratique on n'observe jamais de rétrecissement entre le volume initial et le volume permanent d'un échantillon ayant été soumis à une traction. Pour la plupart des matériaux classiques (polymères, métaux), le volume permanent est égal au volume initial et les formules de Considère doivent être remplacées par celles de Hencky.